

مدل‌سازی پتانسیل معدنی اندیس مس سوناجیل با استفاده از GIS و منطق فازی

محمد کریمی، محمد جواد ولدان زوج: دانشگاه صنعتی خواجه نصیرالدین طوسی، دانشکده نقشه برداری
نادر صاحب‌الزمانی: شرکت ملی صنایع مس ایران، امور اکتشافات و مهندسی توسعه
امیر عادلی سرچشم، غلامرضا الیاسی، عباس بحروفی: دانشگاه تهران، دانشکده مهندسی معدن

چکیده

حجم عظیم داده‌های گردآوری شده از بررسی‌های اکتشافی، تا زمانی که به درستی سازمان‌دهی نشوند، نتایج مفید و قابل اطمینانی را نشان نمی‌دهند. تهیه نقشه پتانسیل معدنی با استفاده از روش‌های سنتی و متداول بسیار دشوار و در بعضی مواقع ناممکن است. فناوری سامانه اطلاعات جغرافیایی ضمن آن‌که می‌تواند در سامان‌دهی اطلاعات مربوط به بررسی‌های اکتشاف ذخایر معدنی استفاده شود، توانایی آن را دارد که تهیه و تلفیق لایه‌های اطلاعاتی مختلف را در قالب مدل‌های گوناگون، با سرعت و دقیق بیشتری انجام دهد و به منزله پشتیبانی برای تصمیم‌گیری‌های فضایی استفاده شود. در این مقاله نقشه پتانسیل معدنی اندیس سوناجیل به منظور تعیین نقاط حفاری تهیه شده است. لایه‌های مورد استفاده شامل لایه‌های تیپ سنگشناسی، آلتراسیون، نشانه‌های کانی‌سازی، زون ناهنجاری شارژ‌ابیلیته و مقاومت ظاهری و آنمالی عناصر مس، مولیبدن و طلا هستند. بعد از آماده‌سازی اطلاعات و تهیه نقشه‌های فاکتور و وزن‌دهی آن‌ها، این نقشه‌ها در قالب شبکه استنتاجی تلفیق شدند. استفاده از عملکردهای منطق فازی در شبکه استنتاجی ضمن برطرف کردن نقاط موجود در سایر مدل‌ها، امکان ترکیب انعطاف‌پذیرتر نقشه‌های فاکتور را فراهم کرده است. در نقشه پتانسیل معدنی تهیه شده، محتمل‌ترین منطقه از نظر وجود کانی‌سازی مس پرفیری بهصورت دو کانون احتمالی شمال شرق و جنوب غرب تعیین شد. در نهایت با انطباق گمانه‌های اکتشافی با نقشه‌های پتانسیل معدنی، میزان تطابق نتایج بر اساس دو نوع کلاس‌بندی نقشه پتانسیل معدنی بهترتیب برای ۹۰/۹۱ و ۸۳/۳۳ درصد محاسبه و انجام عملیات حفاری جدید در مناطق مستعد مشخص شده بر روی این نقشه‌ها توصیه شد. ضمناً در صورت انجام این بررسی‌ها قبل از انجام عملیات حفاری و تنها با فرض حفر نکردن گمانه‌های اکتشافی در مناطق دارای وضعیت ضعیف یا خیلی ضعیف، با استفاده از نقشه‌های سه و پنج کلاسه بهترتیب ۸۱/۸ و ۹۰/۹ درصد از گمانه‌ها حفاری نشده و در حدود ۵۰۰ میلیون تومان در هزینه‌های حفاری صرف‌هجویی می‌شود.

واژه‌های کلیدی: سیستم اطلاعات جغرافیایی، نقشه پتانسیل معدنی، منطق فازی، سوناجیل

دریافت ۸۷/۸/۸ پذیرش ۸۸/۱۰/۱۳

adeli_amir@yahoo.com

مقدمه

در ایران با توجه به وسعت زیاد کشور و گستردگی مناطق پتانسیل‌دار ذخایر معدنی (وجود کمربند ولکانیکی ارومیه - دختر) و لزوم شناسایی و مدیریت صحیح این ذخایر، استفاده از سیستم اطلاعات جغرافیایی دارای اهمیت بسیاری است. پیش از گسترش فراگیر GIS اکثر دانشمندان علوم زمین که با مجموعه داده‌های مکانی مختلف کار می‌کردند، انتخاب، ارزیابی و ترکیب شواهد و مدارک ذخایر معدنی را بر روی میزهای سبک و مجهز به سیستم روش‌نایی انجام می‌دادند. در این دوره آن‌ها نقشه‌های گوناگون را در قالب لایه‌های اطلاعاتی به طور فیزیکی بر روی هم قرار می‌دادند تا روابط مشترک میان آنومالی‌ها را تعیین کنند^[۱].

امروزه GIS تحولی چشمگیر در بسیاری از رشته‌های کاربردی بهویژه در زمینه معدن پذید آورده است. این تحول چشمگیر بدین دلیل است که GIS پردازش و تجزیه و تحلیل لایه‌های مجازی از داده‌های فضایی را امکان‌پذیر می‌سازد و ابزارهایی به منظور تجزیه و تحلیل و روابط متقابل میان لایه‌ها فراهم می‌آورد^[۲].

امروزه استفاده از GIS به منظور تهیه نقشه پتانسیل معدنی در میان دانشمندان علوم زمین بسیار متداول است؛ برای مثال رایت و بونهام کارت‌تر با استفاده از GIS، پتانسیل معدنی مناطق دریاچه چیزل و دریاچه آندرسن را به عنوان بخشی از پژوهه تحقیقاتی سازمان زمین‌شناسی کانادا، ارزیابی کرده‌اند. در این ارزیابی، فاکتورهای تشخیص کانی‌سازی به سه روش منطق فازی، وزن‌های نشانگر و تئوری دمپسfer-شفر تأثیرگذار شده‌اند. در این پژوهه نتایج این سه روش با ۱۶ ذخیره معدنی شناخته شده مطابقت داده شد^[۲].

در نمونه دیگر، کرانزا و هال در تحقیقی منطق فازی را به منظور تهیه پتانسیل معدنی در ذخایر طلای اپی ترمال در ناحیه باگویو در کشور فیلیپین، به کار برده‌اند. در این تحقیق فاکتورهای مؤثر در کانی‌سازی با ۴ نوع ترکیب آزمایشی عمل‌گر فازی با یکدیگر ترکیب و نقشه پتانسیل معدنی تهیه شد. درصد تطابق با ذخایر تایید شده در ۴ ترکیب مذکور به ترتیب برابر با ۷۷/۸، ۷۷/۸ و ۷۶/۲ است^{[۳][۴]}. بعضی پژوهندگان دیگر نظیر پوروال، موخوبازی، آن و همکاران، کریمی و همکاران نیز روش منطق فازی را به منظور تهیه نقشه پتانسیل معدنی به کار برده‌اند^{[۵][۶][۷][۸]}.

این مقاله در نظر دارد تا با استفاده از سیستم‌های اطلاعات جغرافیایی به عنوان بستر مناسبی به منظور آماده‌سازی، پردازش و تأثیرگذاری داده‌های زمین‌شناسی، ژئوشیمی و ژئوفیزیک و به کارگیری روش تلفیق منطق فازی، متلوژی تهیه نقشه پتانسیل معدنی این اندیس در مقیاس تفصیلی را با هدف تعیین نقاط حفاری در محیط GIS ارائه کند.

تهیه نقشه پتانسیل معدنی

تهیه نقشه پتانسیل معدنی روند تحلیلی بسیار پیچیده‌ای دارد که نیازمند توجه هم‌زمان به نقش فاکتورهای متعدد است. با این حال، عملیاتی که برای تهیه نقشه‌های پتانسیل معدنی انجام می‌شود، در بسیاری از جهات به عملیات به کار گرفته شده برای کاربردهای متنوع GIS شبیه است. جستجو برای سایر انواع منابع زمین‌شناسی، ارزیابی خطرها، مقابله با خطرها، انتخاب سایت نیز مستلزم گرفتن همزمان داده‌های فضایی از چندین منبع است [۱].

در بررسی‌های اکتشاف ذخایر معدنی نقشه‌های متعددی- که هر کدام بیان‌گر ویژگی‌های معین از محدوده پژوهش هستند، تهیه می‌شود. با استفاده از تلفیق نقشه‌های فوق، نقشه پتانسیل معدنی تهیه می‌شود. تهیه نقشه پتانسیل معدنی فرایندی در جهت جداسازی و تفکیک مناطق مطلوب و دارای پتانسیل معدنی از سایر نواحی موجود در یک منطقه است. مناطق موجود بر روی نقشه پتانسیل معدنی با توجه به معیارهای در نظر گرفته شده اعم از معیارهای زمین‌شناسی، ژئوفیزیک و ژئوشیمی- از نظر پتانسیل معدنی اولویت‌بندی می‌شوند. مراحل اصلی تهیه نقشه پتانسیل معدنی را می‌توان شامل موارد تعیین فاکتورهای تشخیص کانی‌سازی، آمداده‌سازی اطلاعات، تهیه نقشه‌های فاکتور و تلفیق نقشه‌ها و ارزیابی نتایج دانست [۲،۳،۴].

معرفی مدل‌های تلفیق

مدل‌های تلفیق که معمولاً در GIS به منظور اکتشاف ذخایر معدنی به کار گرفته شده‌اند، شامل مدل‌های بولین، وزن‌های نشان‌گر، همپوشانی شاخص، منطق فازی و شبکه عصبی هستند. به دلیل انکای روش وزن‌های نشان‌گر بر وجود ذخایر معدنی شناخته شده، این روش یکی از بررسی‌هایی‌اند که در تهیه نقشه پتانسیل معدنی در بررسی‌های پی‌چوبی اولیه بوده و در بررسی‌های نیمه تفصیلی و تفصیلی دارای اهمیت و کاربرد کمتری است و به همین دلیل در این پژوهش استفاده نشده است. اکتربرگ و همکاران، بونهام‌کارتر و همکاران، بولنز، اسدی و هال این روش را به منظور تهیه نقشه پتانسیل معدنی در بررسی‌های پی‌چوبی اولیه به کار گرفته‌اند [۵،۶،۷،۸،۹،۱۰،۱۱،۱۲،۱۳].

شبکه‌های عصبی توانایی زیادی در حل مسائل پیچیده‌ای دارند که عوامل متعددی در فرایند و نتیجه آن تأثیر می‌گذارند. در ارزیابی روش یادشده می‌توان گفت که این روش نیاز به داده‌های آموزشی دارد و فقط در مناطقی قابل استفاده است که متغیرهای واکنشی، نظیر پراکندگی ذخایر معدنی شناخته شده و یا چاههای اکتشافی وجود داشته باشند. بنا بر این، روش شبکه‌های عصبی در بررسی‌های تفصیلی کمتر استفاده می‌شود. برآون، پوروال اقدام به تهیه نقشه پتانسیل معدنی با استفاده از شبکه‌های عصبی کرده‌اند [۱۰،۱۱،۱۲،۱۳].

در روش همپوشانی شاخص فاکتورها بسته به اهمیت آنها وزن دار و مطابق با یک الگوی هدفمند با یکدیگر ترکیب می‌شوند. در بررسی‌های اکتشافی که معمولاً نقشه‌های معیار، نقشه‌های چند کلاسه‌اند، بهمنظور تلفیق نقشه‌ها از رابطه^(۱) استفاده می‌شود.

$$\overline{S} = \frac{\sum_i^n S_{ij} W_i}{\sum_i^n W_i} \quad (\text{رابطه } ۱)$$

در این رابطه \overline{S} امتیاز محاسبه شده برای موضوع یا عارضه_i و وزن W_i امین نقشه ورودی و S_{ij} امتیاز j امین کلاس از i امین نقشه است. بزرگترین نقطه ضعف این روش ماهیت افزوده خطا آن است [۱]. استفاده تأثیری از عملگرهای منطق فازی و همپوشانی شاخص در شبکه استنتاجی ضمن برطرف کردن نقایص موجود در سایر مدل‌ها، مشکل ماهیت افزایشی و خطی مدل را اصلاح و امکان ترکیب قابل انعطاف‌تر نقشه‌های فاکتور را فراهم کرده و در این مقاله نیز بهکار گرفته شده است. در ادامه، مدل یاد شده به اختصار ارائه می‌شود.

منطق فازی: در نظریه کلاسیک مجموعه‌ها، عضویت یک عنصر در یک مجموعه به عنوان صفر یا یک تعریف می‌شود. در نظریه فازی مجموعه‌ها، مجموعه فازی به عنوان یک زیرمجموعه از عناصری تعریف می‌شود که درجه عضویتشان در مجموعه بین صفر و یک است [۱۶]. مقدارهای عضویت فازی مانند وزن‌های موجود در روش همپوشانی شاخص، می‌توانند بر اساس قضاوت ذهنی درباره اهمیت نسبی نقشه‌ها و کلاس‌های موجود در هر نقشه و یا بر اساس داده‌ها تعیین شود. بهمنظور تلفیق داده‌های اکتشافی ذخایر معدنی، پنج عملگر فازی مفید تشخیص داده شده است که در جدول ۱ به صورت مختصر معرفی شده‌اند [۷، ۸، ۱].

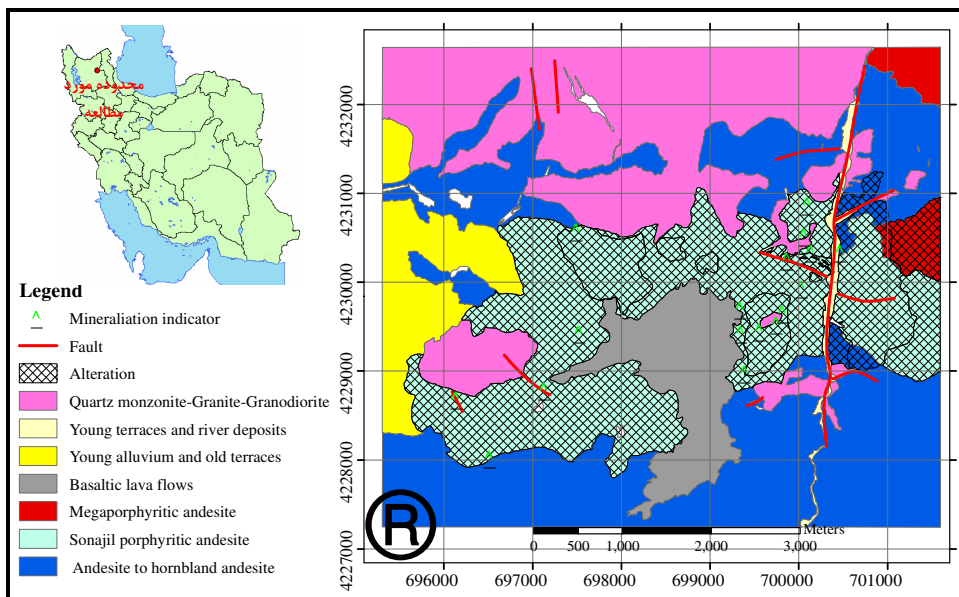
جدول ۱. معرفی عملگرهای فازی مفید در تهیه نقشه پتانسیل معدنی [۱، ۸]

| عملگر | رابطه عملگر | وابجیکی‌های عملگر |
|---------------|--|---|
| Fuzzy AND | $\mu_{\text{Combination}} = \text{MIN}(\mu_A, \mu_B, \mu_C, \dots)$ | همارز عملگر منطقی AND در مجموعه کلاسیک، پدید آمدن تخمینی محافظه کارانه و لزوم وجود دو یا چند شاهد برای اثبات یک فرضیه |
| Fuzzy OR | $\mu_{\text{Combination}} = \text{MAX}(\mu_A, \mu_B, \mu_C, \dots)$ | همارز عملگر منطقی OR در مجموعه کلاسیک، کاربرد در مواردی که فاکتورهای تشخیص کانی‌سازی کم و حضور هر فاکتور مثبت برای اظهار مطلوبیت کافی باشد |
| Fuzzy Product | $\mu_{\text{Combination}} = \prod_{i=1}^n \mu_i$ | دارای اثر کاهشی و کاربرد در مواردی که دو فاکتور یکدیگر را تضعیف می‌کنند |
| Fuzzy Sum | $\mu_{\text{Combination}} = 1 - \prod_{i=1}^n (1 - \mu_i)$ | دارای اثر افزاینده و کاربرد در مواردی که دو یا چند شاهد یک فرضیه را تأیید و یکدیگر را تقویت می‌کنند |
| Fuzzy Gamma | $\mu_{\text{Combination}} = (\text{Fuzzy Algebraic Sum})^\gamma$ $\text{Fuzzy Algebraic Product})^{1-\gamma} *$ | ۷ بین عدد صفر تا یک، ایجاد سازگاری قابل انعطاف میان گرایش‌های کاهشی و افزایشی دو عملگر فازی Product و Sum با انتخاب صحیح و اگاهانه γ |

در روابط یاد شده n فاکتور کنترل کننده کانی‌سازی ترکیب می‌شوند و μ بیان‌گر وزن لایه n است. در عمل ممکن است تعداد متنوعی از عملگرهای فازی در تهیه نقشه پتانسیل معدنی استفاده شوند. بنا بر این بهجای ترکیب تمامی نقشه‌ها با عملگر خاصی مانند γ ، ممکن است بهتر باشد که با توجه به ماهیت فاکتورهای تشخیص کانی‌سازی و اثرات آن‌ها بر روی یکدیگر از عملگر مناسب در هر مرحله از فرایند تأثیرگذاری نقشه‌ها استفاده کرد^[۱]. با توجه به ویژگی‌های هر یک از مدل‌های بررسی شده، مدل منطق فازی مناسب بوده است و استفاده از این مدل به منظور تهیه نقشه پتانسیل معدنی در جهت تعیین نقاط حفاری بهینه در مرحله تفصیلی مناسب است.

بررسی موردی

منطقه سوناجیل در فاصله هوایی ۱۷ کیلومتری شرق هریس و ۴۵ کیلومتری جنوب شرق اهر قرار گرفته است. طول این محدوده ۶/۲۸ کیلومتر و عرض آن ۵/۳۷ کیلومتر است و مساحتی در حدود ۳۴ کیلومتر مربع را شامل می‌شود. نقشه زمین‌شناسی و موقعیت جغرافیایی اندیس مس سوناجیل در شکل ۱ ارائه شده است.



شکل ۱. نقشه زمین‌شناسی و موقعیت جغرافیایی اندیس مس سوناجیل

منطقه پژوهش نقریباً در نقشه زمین‌شناسی به مقیاس ۱:۱۰۰,۰۰۰ اهر واقع شده است. این منطقه طبق تقسیمات زمین‌شناسی ایران در زون البرز غربی- آذربایجان قرار گرفته و بخشی از نوار آتش‌فشاری البرز- آذربایجان به سن ترشیر است. واحدهای زمین‌شناسی موجود در محدوده شامل واحدهای آندزیت تا هورنبلند آندزیت، آندزیت مگاپورفیری، آندزیت پورفیری، گرانیتوئیدی (کوارتز مونزونیت، گرانیت و گرانو-دیوریت) و بازالتی است.

با توجه به بررسی‌های زمین‌شناسی صورت گرفته در منطقه سوناجیل، می‌توان توده نفوذی نسبتاً عمیق را به عنوان منبع احتمالی سیالات هیدروترمال برای کانی‌سازی و آلتراسیون فرض کرد. آلتراسیون‌های موجود در منطقه شامل آلتراسیون‌های پتانسیک- فیلیک، فیلیک، پروفیلیک، آرژیلیک- فیلیک، آرژیلیک و اکسید آهن است.

بررسی اجمالی روندهای ساختاری در منطقه نشان می‌دهد که گسل‌ها و شکستگی‌های با راستای NW - W و SE - E در منطقه معمول هستند. لازم به ذکر است که نشانه‌های کانی‌سازی در قسمت‌هایی از منطقه مشاهده شده است.

منطقه انتخاب شده برای بررسی‌های لیتوژئوشیمیایی در مقیاس ۱:۵۰۰۰ در شمال شهرستان سراب قرار دارد که حدود ۱۲/۵ کیلومتر مربع مساحت دارد. برداشت‌های لیتوژئوشیمیایی و آلتراسیون در شبکه نمونه‌داری $100\text{m} \times 100\text{m}$ و با تعداد ۱۲۴۸ سلول صورت گرفته است.

عملیات مربوط به پردازش داده‌های اولیه شامل، اندازه‌گیری خطای آنالیز، جایگزینی مقادیر سنسورد، تعیین حدود بالا و پایین خارج از رده، نرم‌الایز کردن، تحلیل‌های تکمتغیره، دومتغیره (تعیین ضرایب همبستگی پیرسون و اسپرمن) و چندمتغیره (آنالیز فاکتوری، آنالیز خوش‌های و Z-Score)، تعیین جامعه آنومال معادل $2/5\%$ فوقانی جامعه کل، تهیه نقشه‌های تکمتغیره و چندمتغیره (به روش کریجینگ) و در نهایت تفسیر آن‌ها بوده است.

اکتشافات ژئوفیزیکی به روش‌های پلاریزاسیون القایی (IP) با آرایش مستطیلی و مقاومت ویژه (Rs) به عمل آمده است. خط مبنای عملیات به موازات روند آلتراسیون به طول ۲۳۰۰ متر با جهت شرقی- غربی و پروفیل‌ها عمود بر آن (شمالي- جنوبي) به طول ۱۰۰۰ متر با نقاط ۲۰ متر و فواصل پروفیل‌ها از یکدیگر ۵۰ متر انتخاب و محدوده با آرایش مستطیلی $MN=20$ و $AB=1200$ متر تحت پوشش عملیات ژئوفیزیکی قرار گرفته است.

۱. تعیین فاکتورهای تشخیص کانی‌سازی در سوناجیل

در این مرحله همه فاکتورهای مؤثر در رخداد کانی‌سازی مشخص شدند. این مرحله از کار اصولاً با توجه به مدل مفهومی ذخیره مورد نظر امکان‌پذیر است. با توجه به نتایج بررسی‌ها و عدم نقش گسل‌ها و دایک‌ها در کانی‌سازی، فاکتورهای تشخیص کانی‌سازی اندیس سوناجیل شامل زون منشأ حرارت و سنگ میزبان، آلتراسیون هیدروترمال، نشانه‌های کانی‌سازی، توزیع میزان عیار عنصر مس، توزیع میزان عیار عنصر مولیبدن، توزیع میزان عیار عنصر طلا، توزیع میزان شارژ‌ابیلیتیه و توزیع میزان مقاومت ظاهری است.

۲. آماده سازی اطلاعات

در مرحله آماده سازی اطلاعات، همه لایه های اطلاعاتی مورد نظر که در مرحله تعیین فاکتور های تشخیص کانی سازی تعیین شدند، جمع آوری و آماده سازی شدند. لایه های اطلاعاتی آماده سازی شده شامل تیپ سنگ شناسی، آلتراسیون، نشانه های کانی سازی، نقاط برداشت ژئوشیمی، منحنی هم عیار عنصر مس، آنمالی عنصر مس، منحنی هم عیار عنصر مولیبدن، آنمالی عنصر مولیبدن، منحنی هم عیار عنصر طلا، آنمالی عنصر طلا، منحنی شارژ- ابیلیتیه، زون ناهنجاری شارژ ابیلیتیه، منحنی مقاومت ظاهری و زون ناهنجاری مقاومت ظاهری هستند.

۳. تهیه نقشه های فاکتور تشخیص کانی سازی

نحوه تأثیر و ارزش لایه های اطلاعاتی که آماده سازی می شوند، از نظر اکتشاف یک نوع ذخیره معدنی خاص، متفاوت است. نقشه پتانسیل معدنی از تلفیق لایه های اطلاعاتی با توجه به نحوه تأثیر و ارزش لایه ها تهیه می شود. به همین منظور لازم است با انجام مجموعه ای از پردازش ها (ایجاد بافر، کلاس بندی مجدد و....)، نقشه یا نقشه های فاکتور هر لایه اطلاعاتی تهیه شود. با توجه به تنوع تأثیر و ارزش دهنده لایه های اطلاعاتی مختلف، پردازش های مورد نیاز برای تهیه نقشه های فاکتور متفاوت است.

در تهیه نقشه های فاکتور یک کانسار خاص، علاوه بر استفاده از مدل مفهومی زمین شناسی و کانی سازی ذخیره معدنی مربوطه، به دانش کارشناسی در تعیین نحوه تأثیر و ارزش اطلاعات نیاز است. در این جهت با برگزاری جلسات کارشناسی مختلف با کارشناسان شرکت ملی صنایع مس ایران و تشریح عوامل مؤثر در هر یک از فاکتورها، وزن مربوط به آن ها مشخص شد. در ادامه عوامل مؤثر در وزن دهنده فاکتور های کانی سازی تشریح شده است. وزن مربوط به هر یک از فاکتورها در جدول ۲ و نقشه های مربوط به هر یک از این فاکتورها در شکل های ۲ تا ۹ ارائه شده است.

نقشه فاکتور زون منشا حرارت و سنگ میزبان(A): با توجه به بررسی ویژگی های زمین شناسی، سنگ میزبان به صورت توده نفوذی نسبتاً عمیقی است که به علت فقدان در سطح وزنی به آن اختصاص نیافته است. توده نفوذی مذکور در سنگ های آندزیت مگاپرفیریت، آندزیت هورنبلنديت و آندزیت پرفیریت نفوذ و باعث آلتراسیون و کانی سازی در آن ها شده است. لازم به ذکر است که شدت آلتراسیون و کانی سازی در سنگ های آندزیت پرفیریت بسیار بیشتر از سنگ های آندزیت هورنبلنديت و آندزیت مگاپرفیریت است. دیگر سنگ های منطقه (شامل توف آندزیت، بازالت کواترنر، آبرفت و توده گرانیتوئیدی اینچه)، نقشی در کانی سازی نداشته اند و برای این تیپ سنگ ها وزن حداقل (۰/۰۱) در نظر گرفته شد.

نقشه فاکتور آلتراسیون(B): با توجه به بررسی ویژگی های زمین شناسی، دگرسانی های بالاهمیت و مشخص شده در نقشه، شامل دگرسانی های پتانسیک- فیلیک، فیلیک، آرژیلیک- فیلیک، اکسید آهن، فیلیک- پروفیلیک و

آرژیلیک هستند که با توجه به اهمیت انواع آلتراسیون‌ها در کانی‌سازی مس پرفیری و بر اساس نظر کارشناسی وزن‌دهی شدند.

نقشه فاکتور نشانه‌های کانی سازی(C): با توجه به بررسی ویژگی‌های زمین‌شناسی، این فاکتور به عنوان یکی از فاکتورهای مؤثر شناخته شده و به منظور نمایش نحوه تأثیر این نشانه‌ها ۴ بافر ۱۵ متری با وزن‌های متفاوت در پیرامون آن‌ها در نظر گرفته شد.

نقشه فاکتور عیار مس(D): با توجه به اطلاعات موجود و نظر کارشناسی، مقادیر آستانه مربوط به آنومالی‌های قطعی، احتمالی و ممکن تعیین و وزن‌دهی شد. مقادیر موجود در میان پربندهای ۲۰۶ ppm تا ۳۵۵ ppm به عنوان آنومالی احتمالی و مقادیر بالای ۴۶۸ ppm به عنوان آنومالی قطعی مشخص شدند. برای سایر مناطق وزن حداقل (۱۰/۰) در نظر گرفته شد.

نقشه فاکتور عیار مولیبدن(E): با توجه به اطلاعات موجود، مقادیر آستانه مربوط به آنومالی‌های قطعی، احتمالی و ممکن تعیین و وزن‌دهی شد. مقادیر موجود در میان پربندهای ۱۰/۳۳ ppm تا ۶/۴ ppm به عنوان آنومالی ممکن و مقادیر موجود در میان پربندهای ۱۰/۳۳ تا ۱۲/۴ ppm به عنوان آنومالی احتمالی و مقادیر بالای ۱۲/۴ به عنوان آنومالی قطعی مشخص شدند. برای سایر مناطق وزن حداقل (۱۰/۰) در نظر گرفته شد.

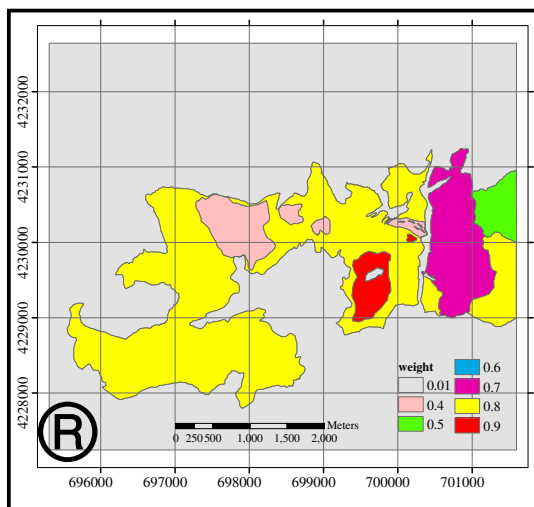
نقشه فاکتور عیار طلا(F): با توجه به اطلاعات موجود، مقادیر آستانه مربوط به آنومالی‌های قطعی، احتمالی و ممکن تعیین و وزن‌دهی شد. مقادیر موجود در میان پربندهای ۳۶ ppm تا ۱۷۳ ppm به عنوان آنومالی ممکن و مقادیر موجود در میان پربندهای ۱۷۳ ppm تا ۲۹۹ ppm به عنوان آنومالی احتمالی و مقادیر زیاد ۲۹۹ ppm به عنوان آنومالی قطعی مشخص شدند. برای سایر مناطق وزن حداقل (۱۰/۰) در نظر گرفته شد.

نقشه فاکتور شارژ‌ابیلیته(G): با توجه به بررسی ویژگی‌های ژئوفیزیکی، مقادیر آستانه مربوط به آنومالی‌های قطعی، احتمالی و ممکن تعیین و وزن‌دهی شد. مقادیر موجود در میان پربندهای ۲۰ mv/v تا ۲۵ mv/v به عنوان آنومالی ممکن و مقادیر موجود در میان پربندهای ۲۵ mv/v تا ۳۲/۵ mv/v به عنوان آنومالی احتمالی و مقادیر زیاد ۳۲/۵ mv/v به عنوان آنومالی قطعی مشخص شدند. برای سایر مناطق وزن حداقل (۱۰/۰) در نظر گرفته شد.

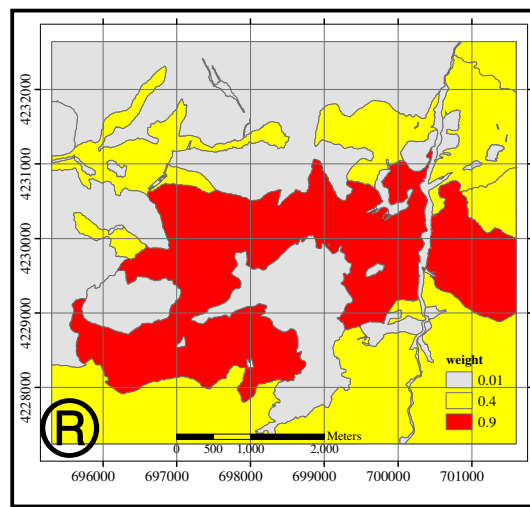
نقشه فاکتور مقاومت ظاهری(H): با توجه به بررسی ویژگی‌های ژئوفیزیکی، مقادیر آستانه مربوط به آنومالی‌های قطعی، احتمالی و ممکن تعیین و وزن‌دهی شد. مقادیر موجود در میان پربندهای ۸۰ تا ۱۰۰ اهم متر به عنوان آنومالی ممکن و مقادیر موجود در میان پربندهای ۸۰ تا ۶۰ اهم متر به عنوان آنومالی احتمالی و مقادیر کمتر از ۶۰ به عنوان آنومالی قطعی مشخص شدند. برای سایر مناطق وزن حداقل (۱۰/۰) در نظر گرفته شد.

جدول ۲. وزن‌های اولیه و نهایی استفاده شده در تهیه نقشه پتانسیل معدنی اندیس سوناجیل

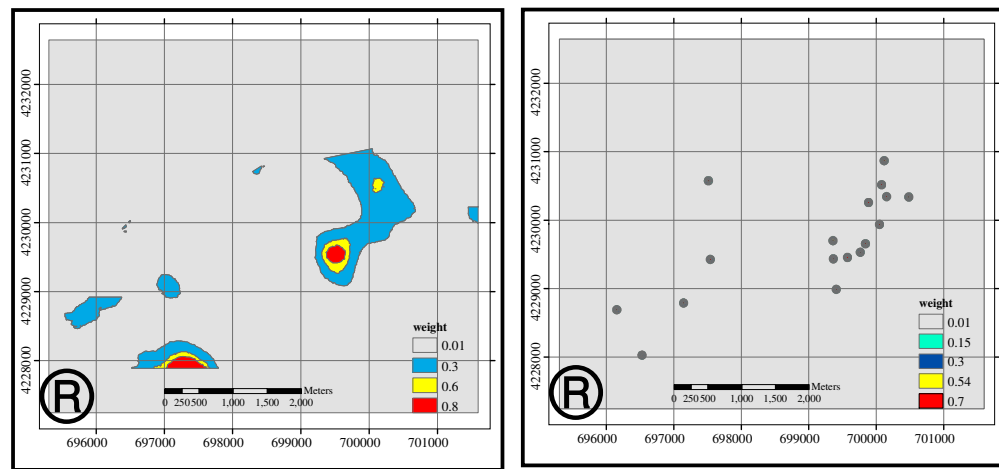
| زون منشا حرارت و سنگ میزان | وزن اولیه | وزن نهایی | آلتراسیون | وزن اولیه | وزن نهایی | شانه‌های کانی-سازی | وزن اولیه | وزن نهایی | توزیع عصر مس | وزن اولیه | وزن نهایی |
|----------------------------|-----------|-----------|-------------------|-----------|-----------|--------------------|-----------|-----------|-----------------|-----------|-----------|
| اندزیت پرفیریت | ۰/۹ | ۰/۳۴۷ | فلیلیک و پروفیلیک | ۰/۵ | ۰/۲۰۴ | بافر ۱۵ متری | ۰/۷ | ۰/۲۸۶ | آنومالی قطعی | ۰/۸ | ۰/۴ |
| اندزیت مگا پرفیریت | ۰/۴ | ۰/۱۰۴ | آرژیلیک و فیلیک | ۰/۷ | ۰/۲۸۶ | بافر ۳۰ متری | ۰/۵۴ | ۰/۲۲۱ | آنومالی احتمالی | ۰/۶ | ۰/۳ |
| اندزیت هورنبلاندیت | ۰/۴ | ۰/۱۰۴ | آرژیلیک | ۰/۴ | ۰/۱۶۳ | بافر ۴۵ متری | ۰/۳ | ۰/۱۲۳ | آنومالی ممکن | ۰/۳ | ۰/۱۰ |
| فیلیک | | | | | | | | | | | |
| پتانسیک و فیلیک | | | | | | | | | | | |
| اکسید آهن | | | | | | | | | | | |
| توزیع عصر مولیدین | وزن اولیه | وزن نهایی | توزیع عصر طلا | وزن اولیه | وزن نهایی | شارژ-ابیلیته | وزن اولیه | وزن نهایی | مقاومت ظاهری | وزن اولیه | وزن نهایی |
| آنومالی قطعی | ۰/۵ | ۰/۲۵ | آنومالی قطعی | ۰/۷ | ۰/۳۵ | آنومالی قطعی | ۰/۷۵ | ۰/۷۵ | آنومالی قطعی | ۰/۲۵ | ۰/۲۵ |
| آنومالی احتمالی | ۰/۴ | ۰/۲ | آنومالی احتمالی | ۰/۵۵ | ۰/۲۷۵ | آنومالی احتمالی | ۰/۵ | ۰/۵ | آنومالی احتمالی | ۰/۱۵ | ۰/۱۵ |
| آنومالی ممکن | ۰/۲ | ۰/۱ | آنومالی ممکن | ۰/۲۵ | ۰/۱۲۵ | آنومالی ممکن | ۰/۲۵ | ۰/۲۵ | آنومالی ممکن | ۰/۰۵ | ۰/۰۵ |



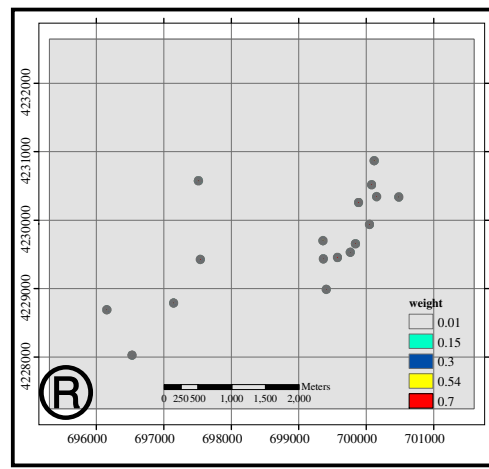
شکل ۳. نقشه فاکتور آلتراسیون



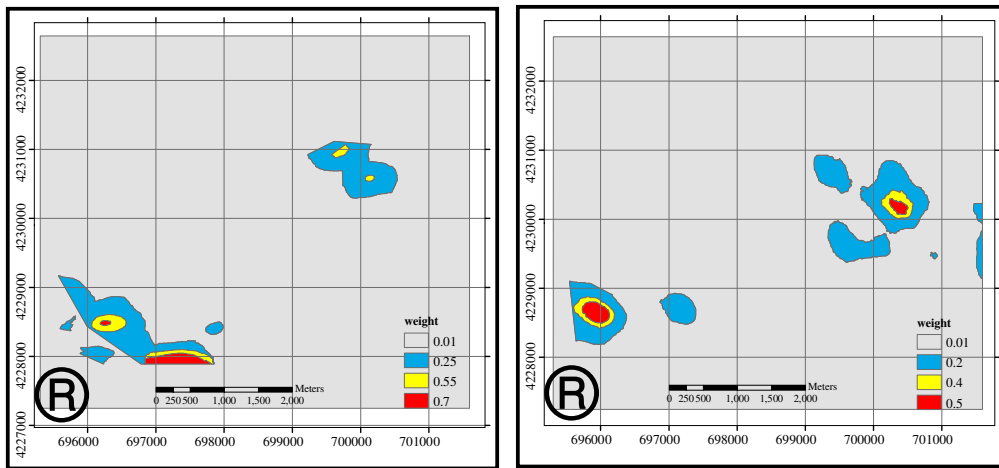
شکل ۲. نقشه فاکتور سنگ میزان



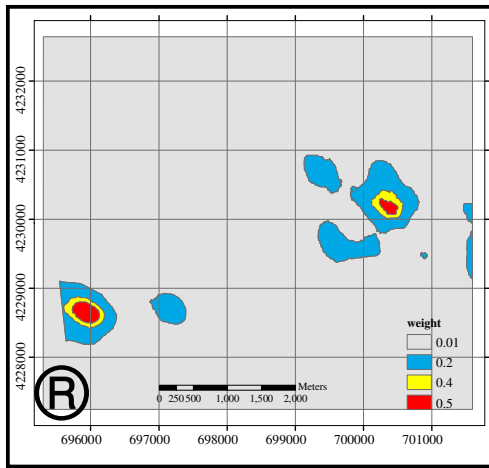
شکل ۵. نقشه فاکتور عیار مس



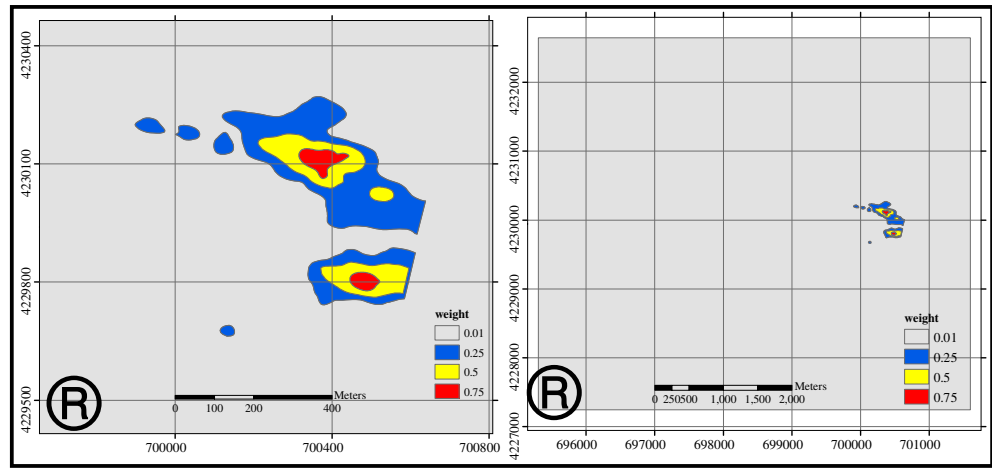
شکل ۴. نقشه فاکتور نشانه‌های کانی‌سازی



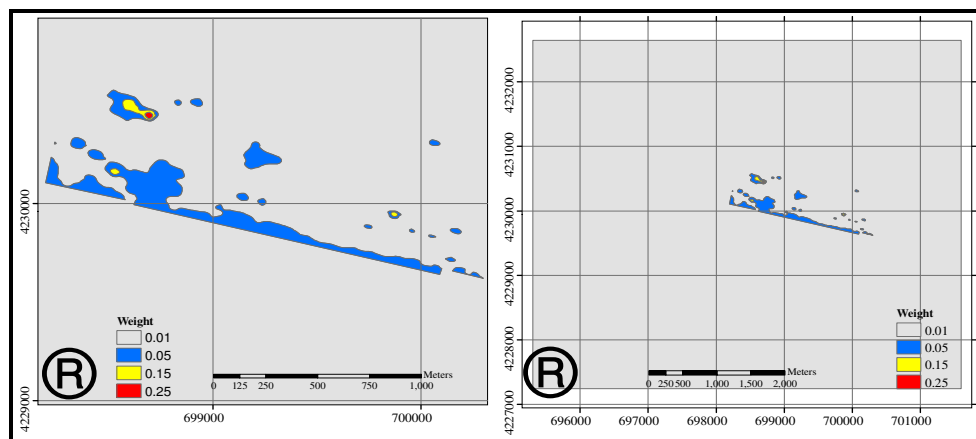
شکل ۶. نقشه فاکتور عیار طلا



شکل ۷. نقشه فاکتور عیار مولیبدن



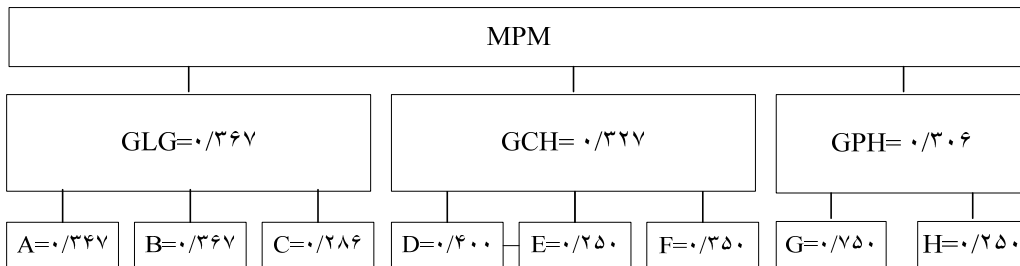
شکل ۸. نقشه فاکتور شارژ‌ابیلیتیه



شکل ۹. نقشه فاکتور مقاومت ظاهری

۴. تلفیق نقشه‌ها و ارزیابی نتایج

به منظور تهیه نقشه پتانسیل معدنی در مرحله تفصیلی باید نقشه‌های فاکتور را مطابق با شبکه استنتاجی مناسبی با هم تلفیق کرد. در شبکه استنتاجی مورد استفاده از عملگرهای مختلف منطق فازی استفاده شده است. نقشه پتانسیل معدنی اندیس سوناجیل مطابق با شبکه استنتاجی ارائه شده در شکل ۱۰ تهیه شده است. همچنین پارامترهای موجود در شبکه استنتاجی مذکور در جدول ۳ معرفی شده‌اند.



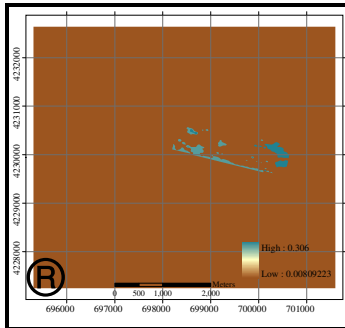
شکل ۱۰. شبکه استنتاجی استفاده شده در تهیه نقشه پتانسیل معدنی اندیس سوناجیل

جدول ۳. معرفی پارامترهای موجود در شبکه استنتاجی

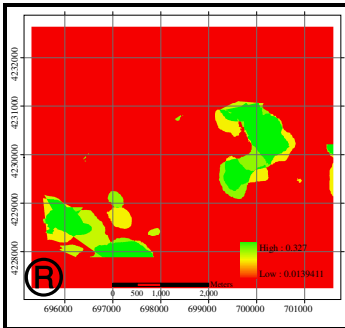
| | |
|------------|--|
| GLG | نقشه فاکتور زمین‌شناسی با استفاده از عملگر فازی گاما |
| GCH | نقشه فاکتور ژئوشیمی با استفاده از عملگر فازی گاما |
| GPH | نقشه فاکتور ژئوفیزیک با استفاده از عملگر فازی گاما |
| MPM | نقشه پتانسیل معدنی با استفاده از عملگر فازی گاما |

با استفاده از شبکه استنتاجی فوق و وزن‌های نمایش داده شده در جدول ۱، نقشه پتانسیل معدنی اندیس سوناجیل تهیه شد، روال تهیه نقشه پتانسیل معدنی در شکل‌های ۱۱ تا ۱۶ نمایش داده شده است. به منظور ارزیابی نتایج، از داده‌های گمانه‌های اکتشافی استفاده شد. در اندیس سوناجیل، بعد از انجام بررسی‌های اکتشافی ۱۷ گمانه اکتشافی حفاری شده است که اطلاعات مربوط به ۱۱ گمانه در اختیار قرار گرفته است. پس از آماده‌سازی اطلاعات مربوط به این گمانه‌ها در محیط GIS به منظور ارزیابی نتایج حفاری،

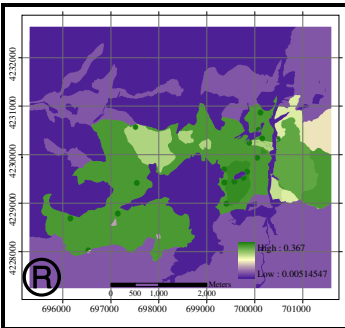
پروفیل تغییرات میزان عیار مس نسبت به عمق برای هر گمانه ترسیم شد. پروفیل‌های مذکور در شکل ۱۷ نمایش داده شده است.



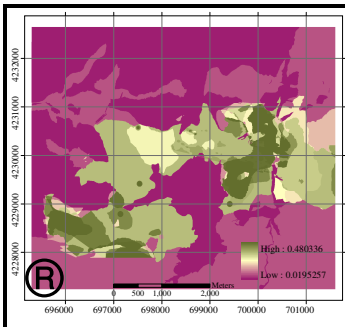
شکل ۱۳ - نقشه پتانسیل معدنی
ژئوفیزیک Sum



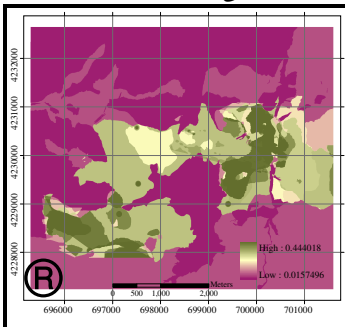
شکل ۱۴ - نقشه پتانسیل معدنی
ژئوشیمی Gamma = ۰/۸



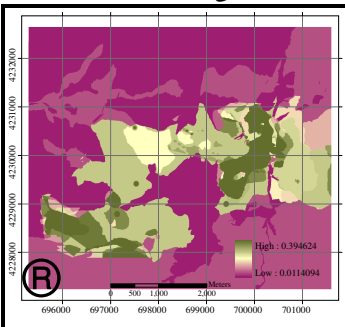
شکل ۱۱ - نقشه پتانسیل معدنی
زمین‌شناسی Gamma = ۰/۸۵



شکل ۱۶ - نقشه پتانسیل معدنی عملگر
عملگر فازی Gamma = ۰/۹۷



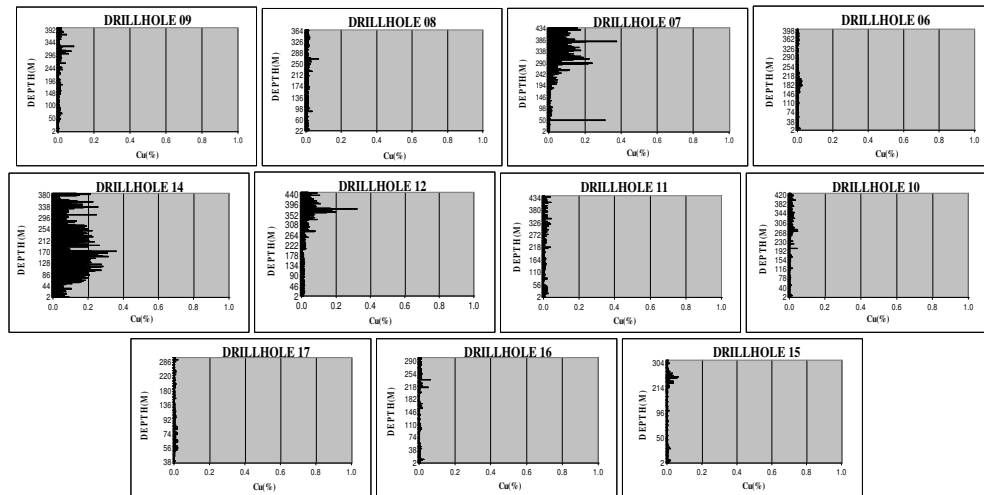
شکل ۱۵ - نقشه پتانسیل معدنی
عملگر فازی Gamma = ۰/۹۵



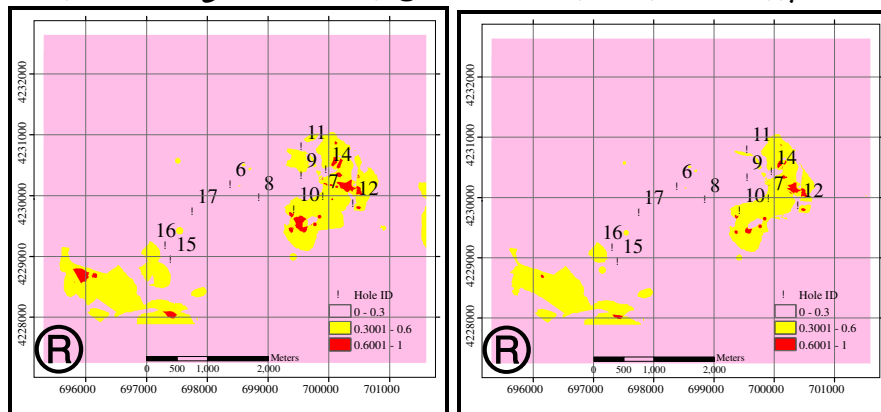
شکل ۱۴ - نقشه پتانسیل معدنی
فازی Gamma = ۰/۹۲

با توجه به تغییرات میزان عیار مس در هر یک از گمانه‌ها و نیز بررسی مقادیر حداکثر و حداقل و همچنین متوسط عیار مس در هر یک از گمانه‌های موجود، هر یک از گمانه‌ها از لحاظ میزان عیار عنصر مس در کلاس معینی قرار گرفتند. در بررسی سه کلاسه‌یکی از سه وضعیت خوب، متوسط و ضعیف و در بررسی پنج کلاسه‌یکی از پنج وضعیت بسیار خوب، خوب، متوسط، ضعیف و یا خیلی ضعیف به هر یک از گمانه‌ها نسبت داده شد. در مرحلهٔ بعد به منظور ارزیابی نقشه‌های پتانسیل معدنی، از انطباق مقادیر پیکسل‌های نقشه فوق در موقعیت مکانی گمانه‌های اکتشافی با نتایج حفاری آن گمانه‌ها استفاده شد. بدین ترتیب با توجه به روش‌های کلاس‌بندی موجود، هر نقشه پتانسیل معدنی به کلاس‌های مختلف تقسیم شد. سپس مقادیر پیکسل‌های مربوط به گمانه‌های اکتشافی در نقشه پتانسیل معدنی استخراج شد. با توجه به مقادیر پیکسل‌های هر گمانه، کلاس آن گمانه تعیین شد. به عبارت دیگر، از نظر نقشه پتانسیل معدنی کلاس هر گمانه با توجه به مقادیر هر پیکسل در یکی از کلاس‌های تعریف شده تعیین شد. کلاس تعیین شده برای هر چاه با وضعیت هر گمانه مقایسه شد. نتایج ارزیابی فوق در جدول‌های ۴ و ۵ ارائه شده است. همچنین نقشه‌های انطباق گمانه‌های اکتشافی با نقشه پتانسیل معدنی اندیس

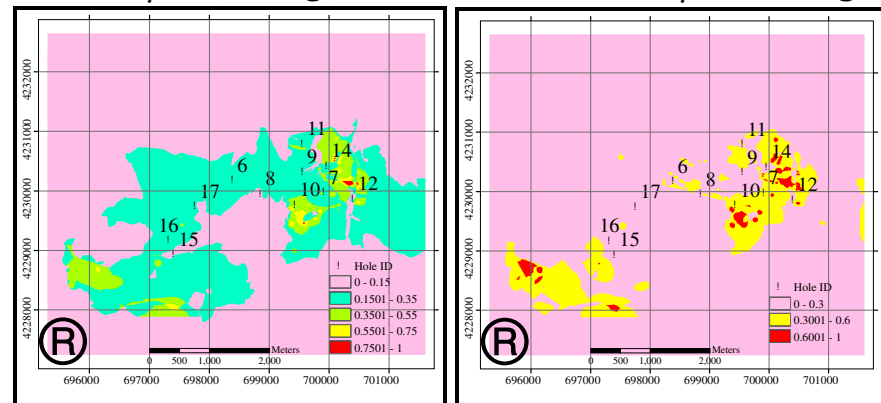
سوناجیل که به صورت سه کلاسه و پنج کلاسه با استفاده از روش Manual کلاس‌بندی شده است، در شکل‌های ۱۸ تا ۲۳ آمده است.



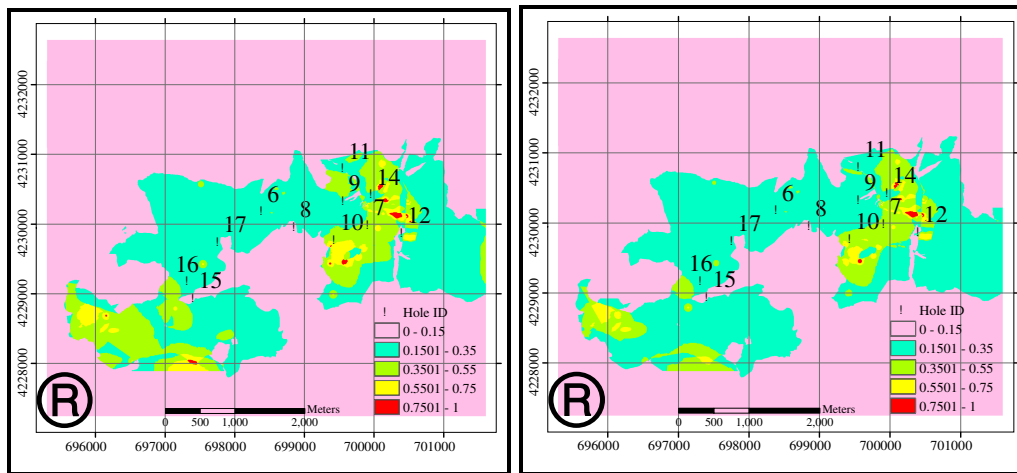
شکل ۱۷. پروفیل‌های تغییرات عیار مس نسبت به عمق در گمانه‌های اکتشافی اندیس مس سوناجیل



شکل ۱۸. انطباق گمانه‌ها با نقشه پتانسیل $\text{Gamma} = 0.95$ و $\text{Gamma} = 0.92$



شکل ۱۹. انطباق گمانه‌ها با نقشه پتانسیل $\text{Gamma} = 0.95$ و $\text{Gamma} = 0.92$

شکل ۲. انطباق گمانه‌ها با نقشه پتانسیل $\text{Gamma} = 0.95$ و $\text{Gamma} = 0.97$. شکل ۳. انطباق گمانه‌ها با نقشه پتانسیل $\text{Gamma} = 0.95$

جدول ۴. ارزیابی میزان تطابق در نقشه پتانسیل معدنی تهیه شده با استفاده از روش Manual سه کلاسه

| خ-خیل | | $\text{Gamma} = 0.92$ | | | $\text{Gamma} = 0.95$ | | | $\text{Gamma} = 0.97$ | | |
|-------------|-------------|-----------------------|-------|---------|-----------------------|-------|---------|-----------------------|-------|---------|
| شماره گمانه | وضعیت گمانه | وزن گمانه | وضعیت | ارزیابی | وزن گمانه | وضعیت | ارزیابی | وزن گمانه | وضعیت | ارزیابی |
| ۶ | ضعیف | ۰/۲۱۸۹ | ضعیف | ۰ | ۰/۲۵۶۳ | ضعیف | | ۰/۲۸۴۹ | ضعیف | ۰ |
| ۷ | ضعیف | ۰/۳۲۷۵ | متوسط | -۱ | ۰/۳۶۵۷ | متوسط | -۱ | ۰/۳۹۳۷ | متوسط | -۱ |
| ۸ | ضعیف | ۰/۰۱۹۹ | ضعیف | ۰ | ۰/۰۲۳۴ | ضعیف | ۰ | ۰/۰۲۶۱ | ضعیف | ۰ |
| ۹ | ضعیف | ۰/۲۱۸۹ | ضعیف | ۰ | ۰/۲۵۶۳ | ضعیف | ۰ | ۰/۲۸۴۹ | ضعیف | ۰ |
| ۱۰ | ضعیف | ۰/۳۸۷۵ | متوسط | -۱ | ۰/۴۲۹۰ | متوسط | -۱ | ۰/۴۵۹۳ | متوسط | -۱ |
| ۱۱ | ضعیف | ۰/۱۹۹۰ | ضعیف | ۰ | ۰/۲۲۶۸ | ضعیف | ۰ | ۰/۲۴۷۶ | ضعیف | ۰ |
| ۱۲ | ضعیف | ۰/۰۴۹۷ | ضعیف | ۰ | ۰/۰۶۰۰ | ضعیف | ۰ | ۰/۰۶۸۲ | ضعیف | ۰ |
| ۱۴ | ضعیف | ۰/۱۹۲۵ | ضعیف | ۰ | ۰/۲۳۲۹ | ضعیف | ۰ | ۰/۲۶۴۶ | ضعیف | ۰ |
| ۱۵ | ضعیف | ۰ | ضعیف | ۰ | ۰ | ضعیف | ۰ | ۰ | ضعیف | ۰ |
| ۱۶ | ضعیف | ۰/۲۱۸۹ | ضعیف | ۰ | ۰/۲۵۶۳ | ضعیف | ۰ | ۰/۲۸۴۹ | ضعیف | ۰ |
| ۱۷ | ضعیف | ۰/۲۱۸۹ | ضعیف | ۰ | ۰/۲۵۶۳ | ضعیف | ۰ | ۰/۲۸۴۹ | ضعیف | ۰ |
| میزان تطابق | | % ۹۰/۹۱ | | | % ۹۰/۹۱ | | | % ۹۰/۹۱ | | |

جدول ۵. ارزیابی میزان تطابق در نقشه پتانسیل معدنی تهیه شده با استفاده از روش Manual پنج کلاسه

| خ=خیلی | | Gamma= ۰/۹۲ | | | Gamma= ۰/۹۵ | | | Gamma= ۰/۹۷ | | |
|-------------|-------------|-------------|---------------|-----------|---------------|-----------|---------------|-------------|---------------|----|
| شماره گمانه | وضعیت گمانه | وزن گمانه | وضعیت ارزیابی | وزن گمانه | وضعیت ارزیابی | وزن گمانه | وضعیت ارزیابی | وزن گمانه | وضعیت ارزیابی | |
| ۶ | خ ضعیف | ۰/۲۱۸۹ | ضعیف | -۱ | ۰/۲۵۶۳ | ضعیف | -۱ | ۰/۲۸۴۹ | ضعیف | -۱ |
| ۷ | ضعیف | ۰/۳۲۷۵ | ضعیف | ۰ | ۰/۳۶۵۷ | متوسط | -۱ | ۰/۳۹۳۷ | متوسط | -۱ |
| ۸ | خ ضعیف | ۰/۰۱۹۹ | خ ضعیف | ۰ | ۰/۰۲۳۴ | ضعیف | ۰ | ۰/۰۲۶۱ | خ ضعیف | ۰ |
| ۹ | خ ضعیف | ۰/۲۱۸۹ | ضعیف | -۱ | ۰/۲۵۶۳ | ضعیف | -۱ | ۰/۲۸۴۹ | ضعیف | -۱ |
| ۱۰ | خ ضعیف | ۰/۳۸۷۵ | متوسط | -۲ | ۰/۴۲۹۰ | متوسط | -۲ | ۰/۴۵۹۳ | متوسط | -۲ |
| ۱۱ | خ ضعیف | ۰/۱۹۹۰ | ضعیف | -۱ | ۰/۲۲۶۸ | ضعیف | -۱ | ۰/۲۴۷۶ | ضعیف | -۱ |
| ۱۲ | خ ضعیف | ۰/۰۴۹۷ | خ ضعیف | ۰ | ۰/۰۶۰۰ | ضعیف | ۰ | ۰/۰۶۸۲ | خ ضعیف | ۰ |
| ۱۴ | ضعیف | ۰/۱۹۲۵ | ضعیف | ۰ | ۰/۲۳۲۹ | ضعیف | ۰ | ۰/۲۶۴۶ | ضعیف | ۰ |
| ۱۵ | خ ضعیف | ۰ | خ ضعیف | ۰ | ۰ | ضعیف | ۰ | ۰ | خ ضعیف | ۰ |
| ۱۶ | خ ضعیف | ۰/۲۱۸۹ | ضعیف | -۱ | ۰/۲۵۶۳ | ضعیف | -۱ | ۰/۲۸۴۹ | ضعیف | -۱ |
| ۱۷ | خ ضعیف | ۰/۲۱۸۹ | ضعیف | -۱ | ۰/۲۵۶۳ | ضعیف | -۱ | ۰/۲۸۴۹ | ضعیف | -۱ |
| میزان تطابق | | ٪ ۸۳/۳۳ | | | ٪ ۸۰/۹۶ | | | ٪ ۸۰/۹۶ | | |

نتیجه‌گیری و پیشنهاد

سیستم اطلاعات جغرافیایی (GIS) دارای قابلیت‌های مختلفی از جمله امکان ذخیره‌سازی، نمایش، بازیابی، پردازش، تلفیق و تبادل اطلاعات مکان مرجع است. این سیستم می‌تواند به عنوان دانش و فناوری بهینه در جهت ساماندهی، پردازش، تحلیل و تلفیق نتایج پژوهش‌های زمین‌شناسی، ژئوشیمی و ژئوفیزیک به منظور شناسایی و ارزیابی پتانسیل‌های معدنی مس مورد استفاده قرار گیرد.

با تکیه بر بررسی‌های انجام شده استفاده از عملگرهای منطق فازی ضمن برطرف کردن نقاط موجود در سایر مدل‌ها، مشکل ماهیت افزایشی و خطی مدل همپوشانی شاخص را اصلاح و امکان ترکیب قابل انعطاف‌تر نقشه‌های فاکتور را فراهم می‌سازد. همچنین استفاده از مدل مذکور تعیین بهینه نقاط حفاری در بررسی‌های نقصیلی را امکان‌پذیر می‌سازد.

با توجه به نقشهٔ پتانسیل معدنی تهیه شده در این مقاله، محتمل‌ترین منطقه نسبت به سایر مناطق از نظر وجود کانی‌سازی مس پرفیری به صورت دو کانون احتمالی شمال شرق و جنوب غرب بر روی نقشهٔ نهایی مشخص شده است. در نهایت با انطباق گمانه‌های اکتشافی حفر شده با نقشه‌های پتانسیل معدنی نهایی، میزان تطابق در پیش‌بینی نتایج گمانه‌های موجود محاسبه شد.

بر این اساس، در دسته‌بندی سه کلاسه نتایج حاصل از روش Manual با گام‌های ۰/۹۲ و ۰/۹۵ و ۰/۹۷ بیشترین تطابق به میزان ۹۰/۹۱ درصد و در دسته‌بندی پنج کلاسه نتایج حاصل از روش Manual با گام‌ای ۰/۹۲ بیشترین تطابق به میزان ۸۳/۳۳ درصد را در پیش‌بینی نتایج گمانه‌های موجود داشته است و انجام عملیات حفاری جدید تنها در مناطق مستعد مشخص شده بر روی این نقشه‌ها توصیه می‌شود. ضمناً در صورت انجام این بررسی‌های قبل از انجام عملیات حفاری و تنها با فرض عدم حفر گمانه‌های اکتشافی در مناطقی که دارای وضعیت ضعیف یا خیلی ضعیف هستند، با استفاده از نقشه‌های سه و پنج کلاسه بهترتبه ۸۱/۸ و ۹۰/۹ درصد از گمانه‌ها حفاری نشده بود. با توجه به بررسی‌های صورت گرفته در این تحقیق، با بهکارگیری GIS و منطق فازی در تعیین نقاط حفاری حداقل از حفاری ۳۵۰۰ متر گمانه اکتشافی ممانعت و حدود ۵۰۰ میلیون تومان در هزینه‌های حفاری صرف‌جویی می‌شود.

تشکر و قدردانی

نگارندگان این مقاله بر خود لازم می‌دانند تا از همکاری مدیریت امور اکتشافات و مهندسی توسعه شرکت ملی صنایع مس ایران بهویژه مهندس حیدری و مهندس صاحب‌الزمانی به دلیل در اختیار قرار دادن داده‌های مورد نیاز و همچنین همکاری در تشکیل جلسات کارشناسی تشکر و قدردانی کنند.

منابع

1. G.F. Bonham-Carter, *Geographic Information Systems for Geoscientists: Modeling with GIS*, Pergamon Press, Ontario, Canada (1994).
2. D.F. Wright and G.F. Bonham-Carter, *VHMS favorability mapping with GIS-based integration models, Chisel-Andersen Lake area*, Geological Survey of Canada, Bulletin, Vol.426 (1996) 339-376.
3. E.J.M.Carranza and M. Hale, *Geologically constrained fuzzy mapping of gold mineralization potential, Baguio district*, Philippines, Natural Resources Research, Vol.10 (2001) 125-136.

4. J. Carranza, *Geographically-Constrained Mineral Potential Mapping*, PhD Thesis, Delft University of Technology, the Netherlands, (2002) 480.
5. A. Porwal, E.J.M. Carranza and M. Hale, *Knowledge-driven and data-driven fuzzy models for predictive mineral potential mapping*, Natural Resources Research, Vol.12 (2003) 1-25.
6. B. Mukhopadhyay, N. Hazra, S.R. Sengupta, S. Kumar Das, *Mineral Potential Map by a Knowledge Driven GIS Modeling: an Example from Singhbhum Copper Belt*, Jharkhad, Geological Survey of India (1996).
7. P. An, W.M. Moon and A. Rencz, Application of fuzzy set theory for integration of geological, geophysical and remote sensing data, Canadian Journal of Exploration Geophysics, Vol.27 (1991) 1-11 .
8. M. Karimi, M.B. Menhaj and M.S. Mesgari, *Mineral potential mapping of copper minearls using fuzzy logic in GIS invironment*, ISPRS 2008, Beijing, China (2008).
9. F.P. Agterberg, Combining indicator patterns in weights of evidence modeling for resource estimation, Nonrenewable Resources,.1 (1992) 39-50 .
10. F.P. Agterberg and G.F. Bonham-Carter, *Deriving weights of evidence from geoscience contour maps for prediction of discrete events*, Proceedings of the 22nd APCOM Symposium, Berlin, Germany, Vol.2 (1990) 381-395.
11. D.E. Boleneus, G.L. Raines, J.D. Causey, A.A. Bookstrom, T.P. Frost and P.C. Hyndman, *Assessment method for epithermal gold deposits in northeast Washington State using weights-of-evidence GIS modeling*, USGS Open-File Report (2001) 01-501, 52.
12. H.H. Asadi, M. Hale, *A Predictive GIS Model For Mapping Potential Gold And Base Metal Mineralization In Takab Area, Iran*, Computer & Geosciences.9 (1999).
13. H.H. Asadi, *The Zarshuran Gold Deposit Model Applied In Mineral Exploration GIS In Iran*, PhD Thesis, ITC, Netherlands, (2000) 190.
14. W.M. Brown, T.D. Gedeon, D.I. Groves and R.G. Barnes, *Artificial neural networks: a new method for mineral prospectivity mapping*: Australian Journal of Earth Sciences, Vol.47 (2000) 757-770.

15. A., Porwal, *Mineral Potential Mapping with Mathematical Geological Models*, Ph.D Thesis, University of Utrecht, The Netherlands, (2006) 289.
16. L.A. Zadeh, Fuzzy sets, *IEEE Information and Control*, Vol.8 (1965) 338-353.
۱۷. ع. جوانمردی و دیگران، گزارش زمین‌شناسی کانسار مس سوناجیل، شرکت ملی صنایع مس ایران، امور اکتشافات و مهندسی توسعه، دفتر اکتشافات شمال‌غرب (۱۳۸۱).
۱۸. گزارش بررسی‌های ژئوفیزیکی بر روی کانسار مس سوناجیل، شرکت ملی صنایع مس ایران، امور اکتشافات و مهندسی توسعه، شرکت صمان کاو، (۱۳۸۰).
۱۹. نتایج حفاری‌های صورت گرفته در منطقه سوناجیل، شرکت ملی صنایع مس ایران، امور اکتشافات و مهندسی توسعه، شرکت پارس اولنگ، (۱۳۸۵).